

## SINTESIS AMORFUS MANGAN DIOKSIDA ( $MnO_2$ ) NANO-POROS MENGGUNAKAN PROSES SONOKIMIA DAN BUKAN SONOKIMIA

(Synthesis of Nanoporous Amorphous Manganese Dioxide ( $MnO_2$ ) via Sonochemical and Non-Sonochemical Processes)

Siti Zubaidah Hasan, Muhammad Rahimi Yusop, Mohamed Rozali Othman\*

*School of Chemical Science and Food Technology,  
Faculty of Science and Technology,  
Universiti Kebangsaan Malaysia, 43600 UKM Bangi, Selangor, Malaysia*

\*Corresponding author: rozali@ukm.edu.my

Received: 17 February 2015; Accepted: 17 March 2015

### Abstrak

Amorfus- $MnO_2$  nano-poros telah disintesis menggunakan proses sonokimia (sonikasi) dan bukan sonokimia (hidrotermal) terhadap larutan 0.1 M  $KMnO_4$  menggunakan mangkin silika dan silika-alumina yang permukaannya terubahsuai masing-masingnya pada suhu bilik dan  $100^\circ C$ . Amorfus- $MnO_2$  nano-poros yang diperolehi seterusnya dicirikan dengan menggunakan spektrometer FTIR, dan spektrum yang diperolehi menunjukkan kewujudan serapan ikatan  $MnO_2$ . Produk juga dicirikan menggunakan pembelauan sinar-X (XRD), dan morfologi diimbas dengan menggunakan mikroskopi pengimbas elektron-pembelahubah tekanan (VP-SEM) dan juga mikroskopi elektron transmisi (TEM). Kelakuan elektrokimia  $MnO_2$  dikaji menggunakan kaedah voltametri berkitar dan ia menunjukkan  $MnO_2/Mn^{2+}$  yang berbalik.

**Kata kunci:** proses sonokimia, proses bukan sonokimia, amorfus  $MnO_2$  nano-poros, voltametri berkitar

### Abstract

Nano-porous amorphous  $MnO_2$  was synthesized using sonochemical (sonication) and non-sonochemical (hydrothermal) processes to a 0.1 M  $KMnO_4$  solution with modified surface of silica and silica-alumina catalyst at room temperatures and  $100^\circ C$  respectively. Nano-porous amorphous  $MnO_2$  obtained was then characterized using infrared spectrometer (FT-IR), and the spectrum shows the absorption of  $MnO_2$  bonding. Structure of the product was later characterized by X-ray diffraction (XRD), and morphology scanned using a scanning electron microscope-variable pressure (VP-SEM) and transmission electron microscopy (TEM). The electrochemical behavior of  $MnO_2$  was studied and it shows reversible of  $MnO_2 / Mn^{2+}$ .

**Keywords:** sonochemical process, non-sonochemical process, nanoporous amorphous- $MnO_2$ , cyclic voltammetry

### Pengenalan

Nanoteknologi semakin menarik perhatian para penyelidik disebabkan oleh penggunaannya dalam pelbagai bidang seperti sains bahan, perubatan, biologi, kejuruteraan dan alam sekitar [1 - 4]. Partikel halus yang mempunyai diameter antara 1 - 100 nanometer (nm) memberikan luas permukaan yang besar di mana ini akan meningkatkan keraktifan kimia, mekanik, elektronik, magnetik, optik dan sifat fiziko-kimia sesuatu bahan [5,6].

Semenjak beberapa tahun kebelakangan ini, sintesis pelbagai partikel logam oksida yang sangat halus sebagai mangkin semakin mendapat perhatian kerana partikel bersaiz nano meningkatkan sifat pemungkinan, mekanik, elektronik, magnetik dan optik disebabkan oleh saiz kecil dan luas permukaannya yang besar [5,6]. Mangan oksida merupakan salah satu logam oksida yang digunakan secara meluas sebagai bahan mentah untuk penyediaan elektrod

dan aplikasi mangkin pengoksidaan selektif. Mangan oksida telah digunakan dalam degradasi sebatian azo, aplikasi kapasitor elektrokimia, aplikasi pemangkinan dan sebagai perantara dalam proses elektrosintesis [7 - 10].

Terdapat pelbagai kaedah yang telah dibangunkan oleh para penyelidik dalam menyediakan mangan oksida. Antaranya ialah mangan oksida boleh disintesis melalui tindak balas keadaan pepejal, kaedah kimia berdasarkan larutan, penguraian terma, pemendakan bersama, proses sol-gel dan pemendapan elektrokimia [11 - 16]. Kaedah sintesis terkini ialah menggunakan proses sonokimia, di mana produk berhasil dalam jangka masa yang singkat dan bersaiz nano. Kesan kimia ultra bunyi disebabkan oleh fenomena peronggaan akustik yang menyebabkan berlakunya pembentukan, pertumbuhan, dan keruntuhan gelembung dalam larutan memberikan sifat larutan sonikasi yang unik telah dilaporkan [6].

Objektif penyelidikan yang dilakukan adalah (1) untuk mensintesis  $MnO_2$  menggunakan kaedah sonikasi dan hidroterma daripada mangkin silika dan silika-alumina yang permukaannya telah terubahsuai terhadap larutan 0.1 M  $KMnO_4$  dan (2) mengkaji sifat berbalik dan kestabilan produk menggunakan voltametri berkitar. Sintesis  $MnO_2$  daripada pengubahaian SBA-15 dan ultrasonik bunyi di mana produk yang diperoleh adalah bersaiz nano telah dilaporkan [17]. Walau bagaimanapun kos SBA-15 yang digunakan adalah agak tinggi. Oleh itu kajian yang dilakukan ini adalah untuk mensintesis  $MnO_2$  daripada mangkin silika dan silika-alumina yang permukaannya telah terubahsuai dengan menggunakan bahan yang lebih murah dan berpatutan. Eksperimen dilakukan dengan menggunakan kaedah sonokimia dan bukan sonokimia.

Daripada kajian ini, kewujudan serapan  $MnO_2$  yang diperoleh dalam setiap eksperimen, perbezaan saiz partikel dan morfologi antara produk yang diperoleh daripada sonikasi (proses sonokimia) dan hidroterma (bukan sonokimia) turut dilakukan. Daripada kajian ini, kewujudan serapan  $MnO_2$  yang diperoleh dalam setiap eksperimen, perbezaan saiz partikel dan morfologi antara produk yang diperoleh daripada sonikasi (proses sonokimia) dan hidroterma (bukan sonokimia) turut dilakukan.

### Bahan dan Kaedah

Semua bahan kimia dan pelarut yang diguna diperoleh daripada Sigma Aldrich dan bergred analisis dan digunakan secara terus tanpa penulinan terlebih dahulu.  $MnO_2$  disintesis menggunakan mangkin silika dan silika-alumina seperti berikut: Pengubahaian permukaan mangkin silika dan silika-alumina perlu dilakukan supaya permukannya lebih bersifat hidrofilik. Ini dilakukan dengan memasukkan kumpulan amina melalui kaedah refluks antara mangkin silika dan silika-alumina dengan menggunakan 3-aminopropiltrioksilsilana (APTES) dalam pelarut toluena masing-masingnya selama 6 dan 12 jam.

#### Kaedah sonokimia (sonikasi)

Pepejal mangkin silika dan silika-alumina yang permukaannya telah diubahsuai ditambahkan ke dalam larutan 0.1 M  $KMnO_4$ . Campuran kemudiannya disonokasi pada suhu bilik menggunakan 40 kHz gelombang ultrasonik pada kuasa 150W selama 6 jam. Campuran mendakan yang berhasil ( $MnO_2$  yang terlekat pada permukaan mangkin) ditapis, dibasuh dengan air suling beberapa kali dan dikeringkan pada suhu  $150^0 C$  selama 9 jam. Templat silika disingkirkan dengan menggunakan 2.0 M  $NaOH$  sebanyak dua kali dan sampel dibilas beberapa kali dengan air suling. Sampel seterusnya dikeringkan pada suhu  $150^0 C$  selama 9 jam.

#### Kaedah bukan sonokimia (hidroterma)

Dalam sintesis  $MnO_2$  yang menggunakan kaedah bukan sonokimia (hidroterma), tindak balas dilakukan dengan mencampurkan mangkin silika dan silika-alumina yang permukaannya telah diubahsuai dan dipanaskan kepada suhu  $100^0 C$  kepada 0.1 M  $KMnO_4$  dan dibiarkan pada susu berkenaan selama 6 jam. Hasil yang diperolehi diolah dan dibersihkan sama seperti hasil dari kaedah sonokasi.

#### Pencirian produk

Sampel yang diperoleh dalam bentuk serbuk dianalisis menggunakan sistem pembelauan (Germany Bruker-AXS X-ray model D8 Advance) menggunakan anod Cu dan pengesan cepat 1D (Lynx-Eye). Sampel diradiasi di bawah sudut lebar dalam julat skala 20. Morfologi sampel dilakukan menggunakan VP-SEM Leo 1450VP dan TEM Philips CM-12 bagi mendapatkan struktur nano sampel yang lebih jelas. Bagi analisis VP-SEM, sampel disebarluaskan

pada suhu bilik dan permukaan sampel yang tersebar disadur dengan lapisan nipis emas ( $90 - 100 \text{ \AA}$ ), Analisis TEM dilakukan bagi mendapatkan morfologi sampel dengan jelas. Sampel terlebih dahulu disonikasi selama 30 minit dalam pelarut etanol bagi memastikan sampel tersebar dan tidak bergumpal. Sampel seterusnya diletakkan di atas satu lapisan polimer dan dibiarkan kering sebelum dianalisis. Kumpulan berfungsi sampel dianalisis menggunakan Infra Merah (FTIR). Sampel yang diguna dicampur dengan serbuk kalium bromida pada nisbah 1:1. Sebanyak 50 mg campuran ini digunakan dalam penyediaan pelet. Pengukuran FTIR dilakukan dalam julat  $400 - 4000 \text{ cm}^{-1}$ .

### Kelakuan elektrokimia

Kelakuan elektrokimia setiap sampel dilakukan dengan menggunakan Voltalab PGZ402. Setiap eksperimen dilakukan pada kadar imbasan  $100 \text{ mV/s}$  menggunakan karbon kaca (GC) sebagai elektrod kerja, platinum (Pt) sebagai elektrod pelengkap dan elektrod piawai kalomel (SCE) sebagai elektrod rujukan. Campuran  $0.5 \text{ M H}_2\text{SO}_4$  dan  $0.5 \text{ M MnSO}_4$  pada nisbah 1(v/v) digunakan sebagai elektrolit penyokong.

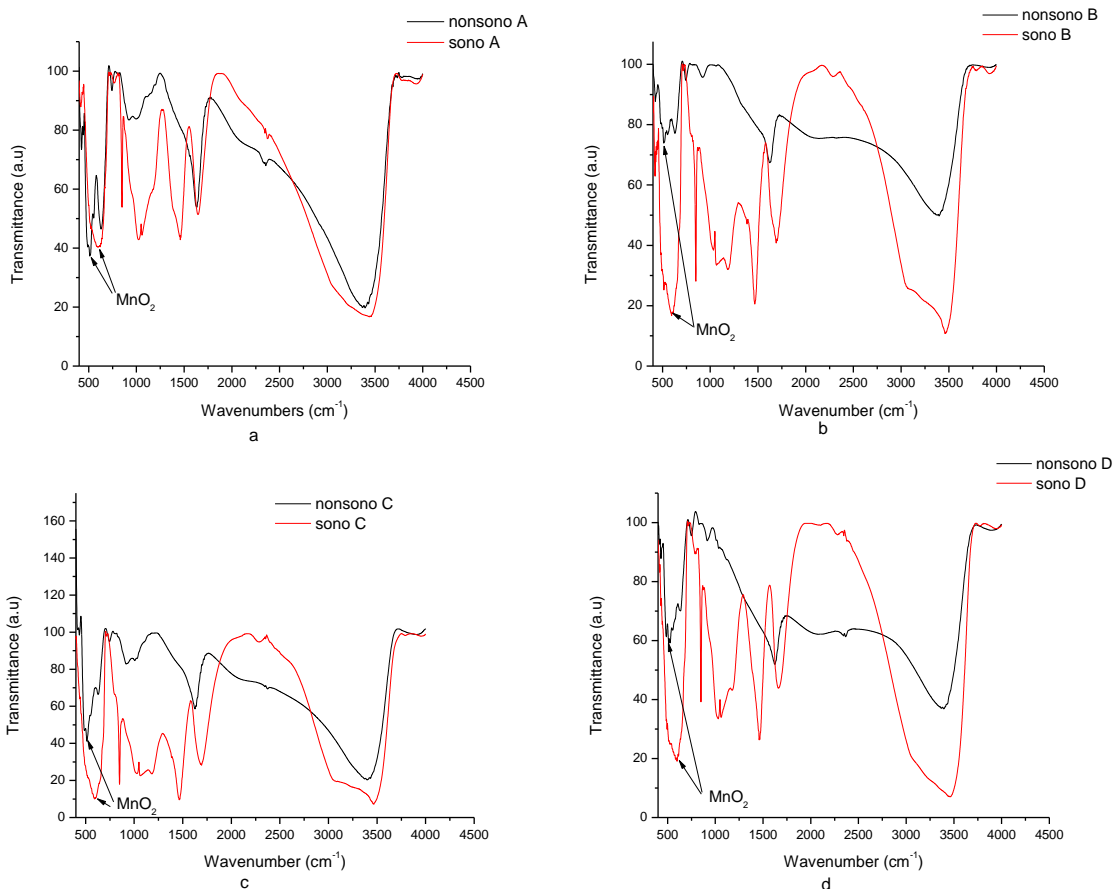
### Keputusan dan Perbincangan

Produk yang diperolehi daripada kedua-dua proses iaitu sonokimia dan hidroterma dan tindak balas yang menggunakan mangkin silika dan silika-alumina yang kedua-dua permukannya telah diubahsuai adalah seperti yang diringkaskan dalam Jadual 1. Pencirian kumpulan berfungsi yang menggunakan FTIR keatas sampel yang diperolehi daripada proses sonokimia dan bukan sonokimia adalah seperti yang ditunjukkan oleh serapan dalam julat  $450$  sehingga  $600 \text{ cm}^{-1}$  [17,18]. Rajah 1 dan Jadual 1 masing-masing menunjukkan spektrum FTIR bagi sampel yang diperolehi dan nombor gelombang dan kumpulan berfungsi yang terlibat dalam kelapan-lapan hasil yang diperolehi.

Jadual 1. Identifikasi hasil dan hasil pencirian yang menggunakan FTIR keatas hasil yang diperolehi daripada tindak balas sonokimia dan bukan sonokimia  $0.5 \text{ M KMnO}_4$  menggunakan mangkin silika dan silika-alumina. Tempoh tindak balas adalah selama 6 jam

Templat/ Mangkin	Proses	Identifikasi hasil	Cerapan puncak dari spektrum FTIR	
			Nombor gelombang ( $\text{cm}^{-1}$ )	Catatan
Silika	Sonokimia	sono A	517.77	Getaran ikatan $\text{MnO}_2$
		sono B	518.79	Getaran ikatan $\text{MnO}_2$
	Bukan	nonsono A	512.10	Getaran ikatan $\text{MnO}_2$
	Sonokimia	nonsono B	512.85	Getaran ikatan $\text{MnO}_2$
Silika-alumina	Sonokimia	sono C	525.20	Getaran ikatan $\text{MnO}_2$
		sono D	514.58	Getaran ikatan $\text{MnO}_2$
	Bukan	nonsono C	513.49 dan 487.59	Getaran ikatan $\text{MnO}_2$
	Sonokimia	nonsono D	487.55 511.80 dan 525.69	Getaran ikatan $\text{MnO}_2$

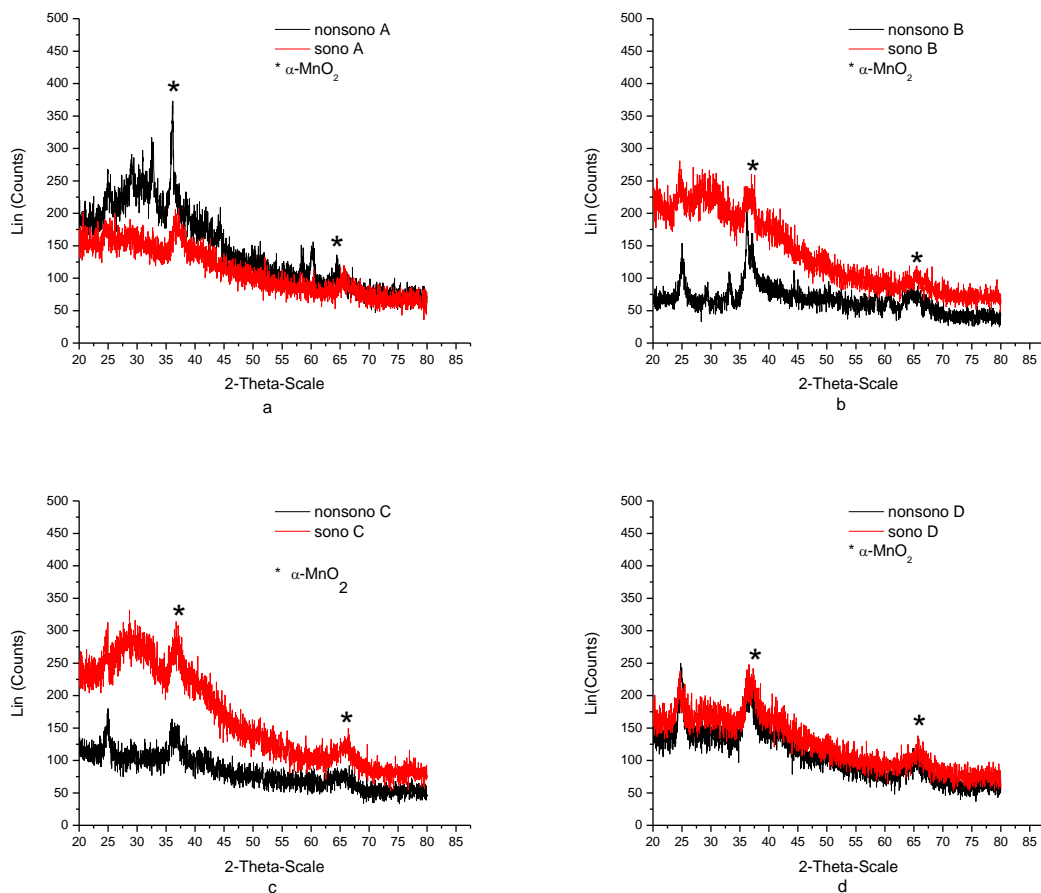
Sampel sono A menunjukkan getaran ikatan  $\text{MnO}_2$  pada  $517.77 \text{ cm}^{-1}$  manakala sampel nonsono A menunjukkan getaran ikatan  $\text{MnO}_2$  pada  $512.10 \text{ cm}^{-1}$  (Rajah 1a). Jalur lebar antara  $3200$  dan  $3500 \text{ cm}^{-1}$  merupakan regangan dan bengkokkan kumpulan hidrosil daripada air yang terikat dengan sampel [19]. Bagi sampel sono B dan nonsono B, getaran ikatan  $\text{MnO}_2$  wujud pada  $518.79$  dan  $512.85 \text{ cm}^{-1}$  (Rajah 1b). Pada panjang gelombang  $525.20 \text{ cm}^{-1}$ , terdapat getaran ikatan bagi sampel sono C dan getaran ikatan  $\text{MnO}_2$  bagi sampel nonsono C wujud pada  $513.49$  dan  $487.59 \text{ cm}^{-1}$  (Rajah 1c). Getaran ikatan  $\text{MnO}_2$  bagi sampel sono D ditunjukkan pada  $514.58 \text{ cm}^{-1}$  dan bagi sampel nonsono D getaran ikatan  $\text{MnO}_2$  wujud pada  $487.55$ ,  $511.80$ , dan  $525.69 \text{ cm}^{-1}$  (Rajah 1d). Daripada spektrum FTIR yang diberi, terdapat regangan kumpulan O-H dan ikatan H dalam julat  $3000$  sehingga  $3500 \text{ cm}^{-1}$ . Puncak berlebihan yang terdapat dalam spektrum FTIR daripada  $1000-1700 \text{ cm}^{-1}$  bagi semua sampel menunjukkan kewujudan kumpulan O-H yang berlebihan, dimana ia mewakili mod getaran O-H yang terjerap dengan air [18].



Rajah 1. Spektrum FTIR bagi sampel sono A dan nonsono A (a), sono B dan nonsono B (b), sono C dan nonsono C (c), sono D dan nonsono D (d) yang diukur dalam julat nombor gelombang  $400 - 4000 \text{ cm}^{-1}$ .

Rajah 2 menunjukkan corak XRD yang diukur dalam sudut lebar bagi sampel  $\text{MnO}_2$  nano-poros yang dilakukan pada suhu bilik. Puncak lebar bagi sampel yang diperolehi menunjukkan sifat kristal yang lemah dan ini membuktikan sampel tersebut bersifat amorfus. Corak XRD dalam Rajah 2(a), (b), (c), dan (d) bagi serbuk sampel sono dan nonsono (A, B, C, dan D) menunjukkan keamatan puncak sederhana dalam julat  $35-40^\circ$  dan keamatan puncak yang lemah dalam julat  $63-70^\circ$  membuktikan kewujudan  $\alpha\text{-MnO}_2$  [17,20]. Puncak lebar dalam julat  $25-34^\circ$  bagi sampel sono B, sono C, dan nonsono A menunjukkan kehadiran templat silika yang tidak disingkirkan dengan sempurna semasa proses penyingkiran templat silika.

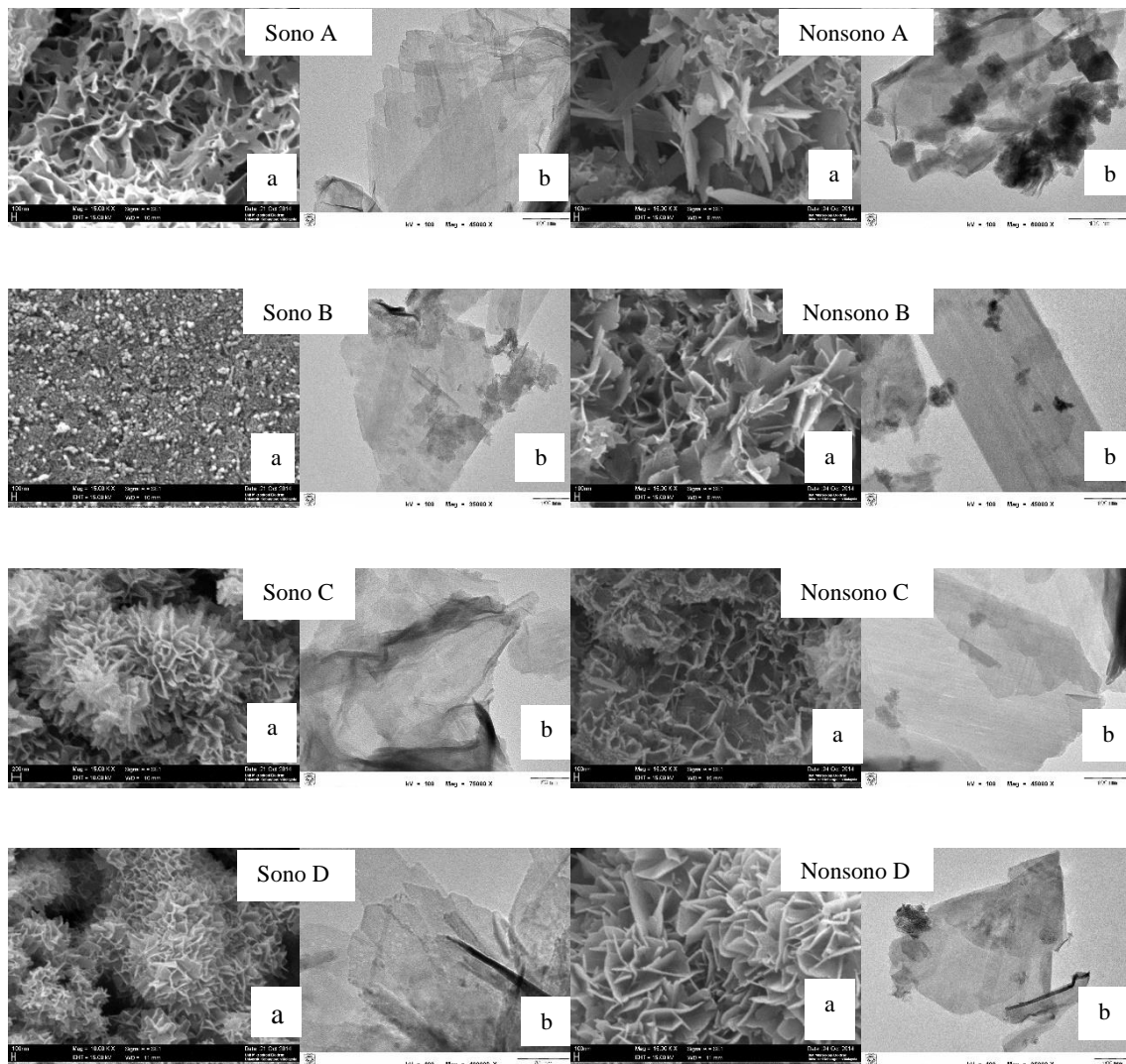
Morfologi dan saiz nanopartikel  $\text{MnO}_2$  ditunjukkan oleh imej SEM dan TEM dalam Rajah 3. Sampel sono A dan sampel sono D di bawah pembesaran 15000 menunjukkan rangkaian oksida yang mengandungi struktur rerambut yang tidak seragam atau seperti jejarum. Rajah 3 menunjukkan sampel sono B mempunyai bentuk seperti rod yang tidak sama bentuk bagi  $\text{MnO}_2$  di bawah pembesaran 15000. Sampel sono C menunjukkan nanostruktur nanobunga yang terdiri daripada banyak kepingan nano di bawah pembesaran 15000. Sampel nonsono A, B, C, dan D menunjukkan permukaan kepingan struktur nano bagi sampel masing-masing. Sampel ini mempunyai struktur yang sama walaupun bentuk dan saiz berbeza kecuali sampel nonsono D. Struktur nano  $\text{MnO}_2$  bagi sampel nonsono D memperlihatkan struktur bunga yang terdiri daripada banyak kepingan nano terpancar daripada pusat.



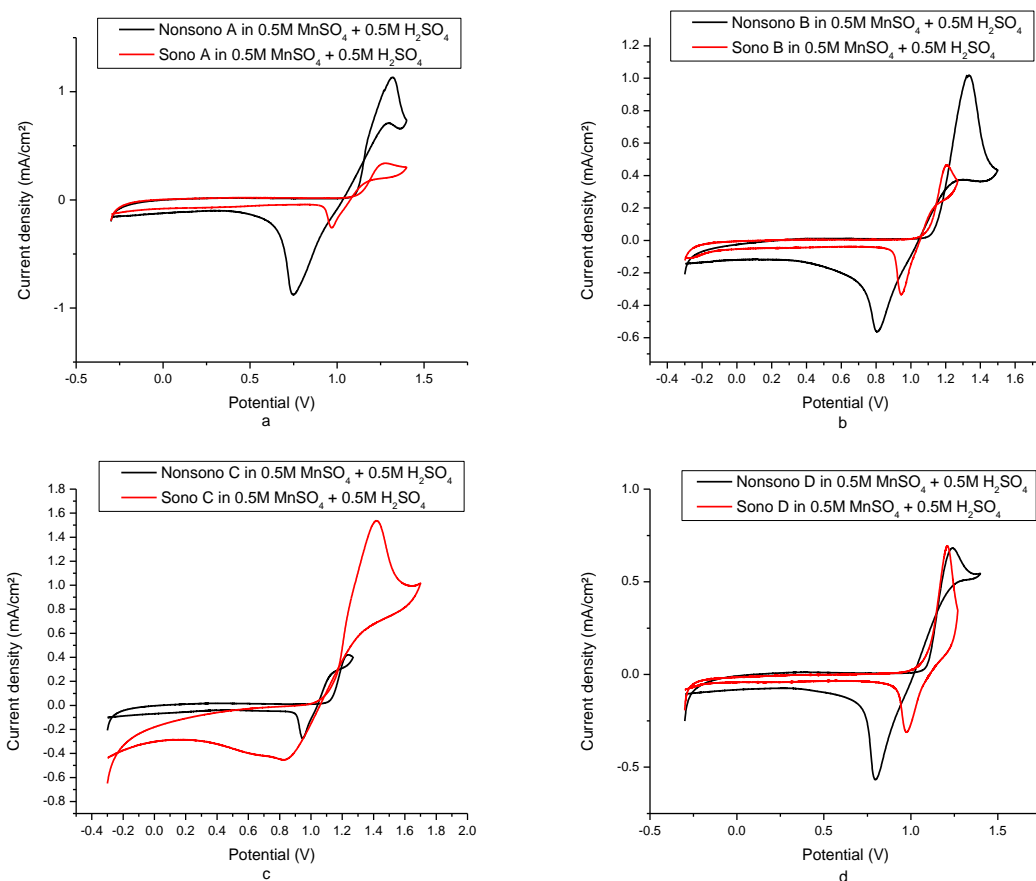
Rajah 2. Corak XRD yang diukur dalam sudut lebar dalam julat  $2\theta$  bagi sampel sono A dan nonsono A (a), sono B dan nonsono B (b), sono C dan nonsono C (c), sono D dan nonsono D (d).

Imej TEM (Rajah 3b) menunjukkan saiz nano bagi setiap sampel. Sampel sono A dan B menunjukkan saiz 100 nm manakala sampel sono C dan D menunjukkan saiz diameter 50 nm. Ini menunjukkan penggunaan mangkin silika-alumina yang permukannya telah diubahsuai memberikan saiz sampel yang lebih kecil iaitu 50 nm berbanding menggunakan mangkin silika yang permukannya telah diubahsuai bagi kaedah sonokimia. Namun, kaedah bukan sonokimia memberikan saiz sampel yang sama iaitu 100 nm bagi kedua-dua templat silika. Sampel nonsono A, B, C, dan D (Rajah 3b) memberikan saiz sampel 100 nm.

Kelakuan elektrokimia produk  $\text{MnO}_2$  yang telah disintesis adalah seperti yang ditunjukkan dalam Rajah 4. Voltametri berkitar dilakukan di dalam larutan 1.0 M  $\text{H}_2\text{SO}_4$  di dalam julat -1.2 V sehingga +1.2 V sebanyak 10 kitaran pada kadar imbasan 50 mV/s untuk menyingkirkan segala kekotoran yang terdapat pada permukaan elektrod. Rajah 4 menunjukkan voltamogram berkitar bagi sampel sono A dan nonsono A (Rajah 4a), sono B dan nonsono B (Rajah 4b), sono C dan nonsono C (Rajah 4c), dan sono D dan nonsono D (Rajah 4d).



Rajah 3. Imej SEM (a) dan TEM (b) bagi sampel-sampel sono A, nonsono A, sono B, nonsono B, sono C, nonsono C, sono D dan nonsono D bersaiz 50 - 100 nm dengan menggunakan pembesaran yang berbeza dalam julat 15000 sehingga 100000



Rajah 4. Voltamogram berkitar sampel sono A dan nonsono A (a) sono B dan nonsono B (b) sono C dan nonsono C (c) sono D dan nonsono D (d) pada kadar imbasan 100 mV/s menggunakan GC (elektrod kerja), SCE (elektrod rujukan) dan dawai Pt (elektrod pelengkap).

Puncak anodik dan katodik bagi setiap produk MnO<sub>2</sub> adalah seperti yang ditunjukkan dalam Jadual 2.

Jadual 2. Puncak anodik dan katodik bagi produk MnO<sub>2</sub>

Sampel	Puncak Anodik (V)	Puncak Katodik (V)
Sono A	1.2660	0.9730
Nonsono A	1.3140	0.7520
Sono B	1.2210	0.9500
Nonsono B	1.3320	0.8050
Sono C	1.4220	0.8400
Nonsono C	1.2320	0.9380
Sono D	1.2070	0.9765
Nonsono D	1.2440	0.8010

Tindak balas persamaan pengoksidaan yang berlaku di bahagian anod dan proses penurunan yang berlaku di bahagian katod bagi  $\text{MnO}_2/\text{Mn}^{2+}$  ditunjukkan dalam persamaan 1 dan 2 berikut.

Di bahagian anod:



Di bahagian katod:



Proses sonokimia merupakan satu proses yang boleh mempercepatkan sesuatu tindak balas konvensional dengan kehadiran gelombang ultra bunyi pada suhu dan tekanan rendah. Selain itu, proses sonokimia boleh menyebabkan berlakunya tindak balas redoks dalam larutan akueus [21]. Proses sonokimia juga dapat memberikan produk yang mempunyai saiz nano di mana sintesis Fe amorfus telah dilaporkan [11]. Dalam kajian yang telah dilakukan, proses sonokimia memberikan  $\text{MnO}_2$  bersaiz nano pada suhu yang lebih rendah berbanding proses bukan sonokimia. Ia juga menunjukkan berlakunya proses redoks di mana  $\text{Mn(VII)}$  daripada  $\text{KMnO}_4$  diturunkan kepada  $\text{Mn(IV)}$  bagi  $\text{MnO}_2$ .  $\text{MnO}_2$  yang bersaiz nano juga diperoleh daripada proses sonokimia. Malahan saiz yang diperoleh adalah lebih kecil berbanding proses bukan sonokimia.

### Keputusan

Kesimpulannya, (1) kedua-dua proses iaitu proses sonokimia dan bukan sonokimia boleh digunakan untuk mensintesis amorfus- $\text{MnO}_2$  nano-poros dengan menggunakan templat silika yang berkos rendah, (2) pelbagai morfologi struktur nano diperoleh seperti nanostruktur nanobunga yang terdiri daripada banyak kepingan nano, struktur rerambut yang tidak seragam atau seperti jejarum, bentuk seperti rod yang tidak sama bentuk bagi  $\text{MnO}_2$ , dan struktur bunga yang terdiri daripada banyak kepingan nano terpancar daripada pusat. Imej TEM pula menunjukkan mangkin silika-alumina yang permukannya telah diubahsuai memberikan saiz sampel yang lebih kecil iaitu 50 nm berbanding menggunakan mangkin silika yang permukannya telah diubahsuai bagi kaedah sonokimia. Namun, kaedah bukan sonokimia memberikan saiz sampel yang sama bagi kedua-dua templat silika dimana sampel nonsono A, B, C, dan D menunjukkan saiz sampel 100 nm. Kelakuan elektrokimia  $\text{MnO}_2$  dikaji dan ia menunjukkan  $\text{MnO}_2/\text{Mn}^{2+}$  adalah berbalik.

### Penghargaan

Penulis mengucapkan ribuan terima kasih kepada geran FRGS/2/2013/SG01/UKM/01/1, Fakulti Sains & Teknologi, Unit Mikroskopi Elektron dan Pusat Penyelidikan dan Instrumenasi (CRIM) UKM untuk analisis yang dilakukan.

### Rujukan

1. Mohammad, A.W., Lau, C. H., Zaharim, A. & Omar, M. Z. (2012). Elements of Nanotechnology Education in Engineering Curriculum Worldwide. *Procedia - Social and Behavioral Sciences*, 60(0): 405-412.
2. Raam Dheep, G. & Sreekumar, A. (2014). Influence of Nanomaterials on Properties of Latent Heat Solar Thermal Energy Storage Materials – A Review. *Energy Conversion and Management*, 83(0): 133-148.
3. Setyawati, M. I., Tay, C. Y. & Leong, D. T. (2013). Effect of Zinc Oxide Nanomaterials-Induced Oxidative Stress on the P53 Pathway. *Biomaterials*, 34(38): 10133-10142.
4. Tang, W. W., Zheng, G. M., Gong, G. L., Liang, J., Xu, P., Zhang, C. & Huang, B. B. (2014). Impact of Humic/Fulvic Acid on the Removal of Heavy Metals from Aqueous Solutions Using Nanomaterials: A Review. *Science of the Total Environment*, 468–469(0): 1014-1027.
5. Henglein, A. (1989). Small-Particle Research: Physicochemical Properties of Extremely Small Colloidal Metal and Semiconductor Particles. *Chemical Reviews*, 89(8): 1861-1873.
6. Suslick, K. S., Choe, S. B., Cichowlas, A. A. & Grinstaff, M. W. (1991). Sonochemical Synthesis of Amorphous Iron. *Nature*, 353(6343): 414-416.

7. Dupont, M., Hollenkamp, A. F. & Donne, S. W. (2013). Electrochemically Active Surface Area Effects on the Performance of Manganese Dioxide for Electrochemical Capacitor Applications. *Electrochimica Acta*, 104(0): 140-147.
8. Ge, J. & Qu, J. (2003). Degradation of Azo Dye Acid Red B on Manganese Dioxide in the Absence and Presence of Ultrasonic Irradiation. *Journal of Hazardous Materials*, 100(1–3): 197-207.
9. Ilyas, M. & Saeed, M. (2011). Synthesis and Characterization of Manganese Oxide and Investigation of Its Catalytic Activities for Oxidation of Benzyl Alcohol in Liquid Phase. *International Journal of Chemical Reactor Engineering*, 9: A75.
10. Ren, Y., Chen, Z., Cai, Y. & Lin, J. (2011). Electrosynthesis of Glyceraldehyde by Cyclic Nano-MnO<sub>2</sub>/Mn<sup>2+</sup> in Bipolar Membrane-Equipped Electrolytic Cell. *Electrochemistry Communications*, 13(12): 1317-1319.
11. Ching, S., Hughes, S. M., Gray, T. P. & Welch, E. J. (2004). Manganese Oxide Thin Films Prepared by Nonaqueous Sol-Gel Processing: Preferential Formation of Birnessite. *Microporous and Mesoporous Materials*, 76(1): 41-49.
12. Kumar, H., Manisha, & Sangwan, P. (2013). Synthesis and Characterization of MnO<sub>2</sub> Nanoparticles Using Co-precipitation Technique. *International Journal of Chemistry and Chemical Engineering*, 3(3): 155-160.
13. Li, Q., Luo, G., Li, J. & Xia, X. (2003). Preparation of Ultrafine MnO<sub>2</sub> Powders by the Solid State Method Reaction of KMnO<sub>4</sub> with Mn(II) Salts at Room Temperature. *Journal of Materials Processing Technology*, 137(1–3): 25-29.
14. Pang, S. C., Chin, S. F. & Ling, C. Y. (2012). Controlled Synthesis of Manganese Dioxide Nanostructures via a Facile Hydrothermal Route. *Journal of Nanomaterials*, 2012: 7.
15. Yu, Z. M., Luo, G., Li, J. & Xia, X. (2011). The Preparation, Texture and Electrodeposition Mechanism of Reticular MnO<sub>2</sub> Catalytic Materials with High Porosity. *Advanced Materials Research*, 311: 1784-1788.
16. Zhang, X., Yue, L., Jin, D. & Zheng, Y. (2010). A Facile Template-Free Preparation of Porous Manganese Oxides by Thermal Decomposition Method. *Inorganic Materials*, 46(1): 51-54.
17. Zhu, S., Zhou, Z., Zhang, D. & Wang, H. (2006). Synthesis of Mesoporous Amorphous MnO<sub>2</sub> from SBA-15 via Surface Modification and Ultrasonic Waves. *Microporous and Mesoporous Materials*, 95(1): 257-264.
18. Kumar, B. M., Karikkat, S., Krishna, R. H., Udayashankara, T. H., Shivaprasad, K. H. & Nagabhushana, B. M. (2014). Synthesis, Characterization of Nano MnO<sub>2</sub> and Its Adsorption Characteristics Over an Azo Dye. *Research & Reviews: Journal of Material Sciences*, 2(1): 27-31.
19. Adelkhani, H., Ghaemi, M. & Jafari, S. (2008). Novel Nanostructured MnO<sub>2</sub> Prepared by Pulse Electrodeposition: Characterization and Electrokinetics. *Journal of Materials Science & Technology*, 24(6): 857-862.
20. Ryu, S. H., Hwang, S. G., Yun, S. R., Cho, K. K., Kim, K. W. & Ryu, K. S. (2011). Synthesis and Electrochemical Characterization of Silica-Manganese Oxide with a Core-Shell Structure and Various Oxidation States. *Bulletin of the Korean Chemical Society*, 32(8): 2683.
21. Henglein, A. (1987). Sonochemistry: Historical Developments and Modern Aspects. *Ultrasonics*, 25(1): 6-16.